

## جداسازی و کلونینگ ژن اکسیدوردوکتاز از یک سویه باکتری رودوکوس اریتروپولیس

جمشید راهب<sup>\*</sup>(Ph.D)، الهام آقائی مقدم<sup>۱۰</sup>(M.Sc)، شمیم نقدی<sup>۱</sup>(M.Sc)، مهلهقا قربانی<sup>۳</sup>(Ph.D)، غلامرضا بخشی خانیکی<sup>۲</sup>(Ph.D)

۱- پژوهشگاه ملی تحقیقات مهندسی ژنتیک و تکنولوژی زیستی

۲- دانشگاه پیام نور تهران

۳- دانشگاه آزاد اسلامی گرگان

### چکیده

سابقه و هدف: یکی از محدودیت‌های فرآیند پالایش و مصرف مواد نفتی مشکلات ناشی از وجود ترکیبات گوگردی در آن‌ها است. استفاده از سوخت‌های فسیلی منجر به آزادسازی  $SO_2$  و به دنبال آن آلودگی محیط‌زیست می‌شود. برای حل این مشکلات، حذف میکروبی گوگرد پیشنهاد شده است. از آن‌جا که کارایی باکتری‌های سولفورزدا محدود است، توجه محققین به افزایش کارایی آن‌ها از طریق دست‌کاری‌های ژنتیکی معطوف شده است. انجام چنین دست‌کاری‌هایی معطوف به بررسی ژنتیک فرایند حذف گوگرد باکتری‌های بومی و سپس کلون کردن ژن‌های مؤثر در این فرایند است. در این رابطه، چند سویه باکتری در ایران جداسازی شدند و مورد بررسی قرار گرفتند. سه ژن C, B و dsz A، دارای توالی DNA<sup>۱</sup>، کیلوبازی هستند که حامل ژن‌های سولفورزدا برای مسیر 4S می‌باشند، که این توالی، در باکتری تازه جدا شده رودوکوس FMF شناسایی و جداسازی شد و سپس در باکتری سودوموناس آئروجينوزا کلون گردید. ژن dszD تولید کننده آنزیم اکسیدوردوکتاز در جهت مسیر سولفورزدا 4S می‌باشد. در این طرح اقدام به شناسایی، جداسازی و کلونینگ dszD از یک سویه باکتری رودوکوس اریتروپولیس نموده و سپس کلون مذکور را تأیید نمودیم.

مواد و روش‌ها: یک سویه باکتری رودوکوس اریتروپولیس را که دارای فعالیت سولفورزدا یی است در داخل شیکر انکوباتور ۲۰۰ RPM و ۳۷ درجه سانتی‌گراد رشد داده شد و DNA ژنومی آن استخراج گردید و سپس در شرایط بهینه، PCR انجام گرفت. ژن اکسیدوردوکتاز (ژن dszD) از روی ژل آگاراز استخراج و در پلاسمید PTZ57R کلون و داخل میزبان *E-coli* (DH5  $\alpha$ ) ترانسفورم شد. نقشه ژنی این پلاسمید نوترکیب با آنزیم‌های محدود کننده به دست آمد و سپس تعیین توالی و همولوژی‌های لازم انجام گرفت.

یافته‌ها: با توجه به این که باکتری رودوکوس اریتروپولیس *IGTS8* استاندارد، دارای سویه‌های مختلف می‌باشد و همین‌طور از تشابه توالی نوکلئوتیدی بین ژن اکسیدوردوکتاز باکتری رودوکوس اریتروپولیس *IGTS8* استاندارد و ژن اکسیدوردوکتاز رودوکوس اریتروپولیس مورد آزمایش، این طور به نظر می‌رسد که سویه در دست بررسی می‌تواند شباهت‌ها و یا قرابات‌هایی با باکتری رودوکوس اریتروپولیس *IGTS8* استاندارد داشته باشد.

نتیجه‌گیری: نتیجه سکانس ژن اکسیدوردوکتاز این سویه از باکتری رودوکوس اریتروپولیس که تحت نام FRF.Seq است، نشان می‌دهد که تعداد نوکلئوتیدهای مربوط به ژن اکسیدوردوکتاز باکتری مورد آزمایش مساوی با تعداد نوکلئوتیدهای مربوط به باکتری رودوکوس اریتروپولیس *IGTS8* استاندارد یعنی ۵۷۹bp است.

واژه‌های کلیدی: ژن اکسیدوردوکتاز (ژن dszD)، باکتری رودوکوس اریتروپولیس، سولفورزدا یی، پلاسمید PTZ57R

\* نویسنده مسئول. تلفن: ۰۲۱-۴۴۵۸۰۵۵-۰۲۱-۴۴۵۸۰۳۸۷، نامبر: E-mail: jam@nrcgeb.ac.ir

## مقدمه

که بیشتر باکتری‌ها با استفاده از ترکیبات نفتی به عنوان منبع کربن و گوگرد، کیفیت سوخت را پائین می‌آورند؛ فرآیند ایده‌آل آن است که در آن حذف گوگرد بدون آسیب دیدن اسکلت کربنی صورت گیرد [۱۲، ۱۴]. انواع مختلفی از ترکیبات آلی حلقوی حاوی گوگرد در سوخت‌های فسیلی وجود دارد اما دی‌بنزوتیوفن (DBT) که یک ترکیب آلی گوگرددار است از طرف محققین به عنوان مولکول شاخص در مطالعات حذف میکروبی گوگرد مورد استفاده قرار می‌گیرد [۱۲، ۸]. شاخص ترین گونه باکتری که مطالعات ژنتیکی و بیوشیمیابی روی آن انجام شده است رودوکوس اریتروپولیس *IGTS8* نام دارد. بررسی حذف اختصاصی گوگرد توسط این باکتری پیشرفت‌های زیادی داشته است، به طوری که مدت زمان استفاده از دی‌بنزوتیوفن و تبدیل آن به HBP-۲ از سال ۱۹۹۰ تا ۱۹۹۷ به میزان قابل توجهی کاهش یافته است. سویه *R.IGTS8* با استفاده از مسیر ۴S قادر به جداسازی گوگرد از دی‌بنزوتیوفن طی یک فرآیند چهار مرحله‌ای و در نهایت تولید HBP-۲ است. در این فرآیند، دو آنزیم منوکسیژناز به نام‌های DSZA و DSZC و یک آنزیم دسولفوریناز به نام DSZB شرکت دارند. DSZA باعث تبدیل  $\text{HBPsi}$  به  $\text{DBTO}_2$  می‌گردد.

DSZB با استفاده از اتصال نوکلئوفیلی مولکول‌های آب روی اتم گوگرد HBPSi باعث تشکیل HBP-۲ و آزاد شدن  $\text{SO}_2$  می‌گردد. در طرح قبلی موفق شدیم که سه زن کدکننده آنزیم‌های مسیر ۴S را در سودوموناس آئروجینوزا کلون کرده و صنعت سولفورزدایی را در این باکتری بررسی نماییم [۴، ۱۰، ۱۱، ۱۳، ۱۵، ۱۵]. با شناسایی زن کدکننده آنزیم اکسیدورودوکتاز، که یکی از اساسی‌ترین کاتالیزورهای واسطه‌ای مسیر گوگرددایی ۴S در باکتری‌ها می‌باشد، در طرح‌های بعدی با بیان انبوه این زن به موازات زن‌های مسیر سولفورزدایی ۴S در باکتری‌ها، میزان سولفورزدایی را می‌توان بالاتر برداشت. از آنجایی که آزمایش‌های *invitro* نشان داده است که افزایش NADH و FMNH<sub>2</sub> باعث افزایش قدرت سولفورزدایی در باکتری‌های سولفورزدا می‌شود، لزوم

با توجه به مشکلاتی که در چند دهه اخیر از یک سو نسبت به کاهش ذخایر سوخت‌های فسیلی و افت آن‌ها در دنیا به وجود آمده و از سوی دیگر با پیچیده‌تر شدن واحدهای پالایشگاهی برای تطبیق و رعایت مقررات خاص حفظ محیط‌زیست و افزایش هزینه تمام شده انرژی مورد نیاز؛ لازم گردیده تا کشورهای پیشرفته در صدد برآیند با روش‌های ساده و کم‌هزینه‌تر، از فشار حاصل بر محیط‌زیست بکاهند. یکی از موفق‌ترین روش‌ها، استفاده از ترشحات سلول‌های زنده (آنژیم) می‌باشد. در این رابطه محققین و دانشمندان از حدود ۵۰ سال قبل سعی بر آن داشته‌اند که جداسازی گوگرد را از طریق روش‌های بیوشیمی و میکرووارگانیزم‌ها انجام دهند که خوب‌بختانه در این راه موفقیت‌هایی به دست آورده‌اند، به طوری که واحدهای تجاری آن، در آینده نزدیکی نصب و مورد بهره‌برداری قرار خواهند گرفت و با اجرای این پروژه، کیفیت ساختاری مواد نفتی ارتقاء می‌یابد.

گوگرد موجود در ترکیبات نفتی باید حذف گردد. راه حل موجود سولفورزدایی به طریق شیمیابی (Hydrodesulfurization, HDS) می‌باشد. در این روش گوگرد آلی تحت فشار و حرارت بالا در حضور کاتالیست‌های فلزی احیا شده و ایجاد گاز ( $\text{H}_2\text{S}$ ) می‌گردد. ضمناً روش سولفورزدایی (HDS) هزینه بالایی در بردارد. بنابراین روش HDS یک روش مطلوب نیست، ولی با این حال به طور گستره‌ای در صنایع نفتی در جهان استفاده می‌شود [۱، ۹، ۱۰، ۱۳، ۱۵]. برای حل این مشکلات، حذف بیولوژیک گوگرد پیشنهاد شده است. یکی از این روش‌ها، روش حل (Microbial Desulfurization, MDS) میکروبی گوگرد می‌باشد. باکتری‌های زیادی شناسایی شده‌اند که با استفاده از مسیرهای هوایی و بی‌هوایی اقدام به حذف گوگرد از ترکیبات نفتی می‌نمایند. بنابراین گزارشات اندکی در استفاده از این طریق وجود دارد. اما در فرآیند هوایی، باکتری‌های زیادی شناسایی شده‌اند که به طور انتخابی دی‌بنزوتیوفن (DBT) یا ترکیبات دیگر را سولفورزدایی می‌کنند. در حالی

مقادیر زیر با استفاده از کیت (شرکت سیناژن) استفاده شد.

برای حجم ۱۰۰۰ میکرولیتر،

10µl	10X Buffer
2µl	dNTP
6µl	MgCl <sub>2</sub>
1µl	پرایمر رفت
1µl	پرایمر برگشت
1µl	Taq آنزیم
78µl	آب مقطر

استخراج ژن اکسیدوردوکتاز از روی ژل آگارز با استفاده از کیت Agarose Gel DNA Extraction (شرکت Roche) انجام شد.

۴) تهیه سلول پذیرا و انجام کلونینگ. در این مرحله از کیت InsT/A clone TM PCR product (شرکت cloning kit Fermentase) استفاده شد.

۵) استخراج پلاسمید. بعد از یک شبانه روز چند کلنی Miniprep سفید انتخاب کرده و از کلنی سفید به روش استخراج پلاسمید انجام گردید.

۶) Mapping. با کمک آنزیم‌های محدودکننده‌ای که در وکتور پلاسمیدی PTZ57R و همین طور آنزیم‌هایی که در دو طرف پرایمر رفت و پرایمر برگشت ژن اکسیدوردوکتاز طراحی شده، آنالیز کلون‌ها انجام گرفت.

۷) آماده کردن نمونه‌های کلون شده جهت تعیین توالی.

۸) بررسی هومولوژی‌ها با استفاده از نرم‌افزار DNA star

کلونینگ و بیان انبوه این ژن جهت افزایش سولفورزداپ قابل درک است. در این طرح هدف، جداسازی و کلونینگ ژن اکسیدوردوکتاز از یک سویه باکتری رودوکوکوس اریتروپولیس و تعیین توالی آن می‌باشد.

## مواد و روش‌ها

### ۱) سویه‌های باکتریایی.

(الف) یک سویه باکتری رودوکوکوس اریتروپولیس که از دانشگاه شهید بهشتی (ابراهیم‌پور غلامحسین، دانشگاه شهید بهشتی) که دارای فعالیت سولفورزداپ است در اختیار ما قرار گرفت.

(ب) سویه‌هایی از E.coli تحت عنوان Jm110 و DH5α متعلق به مرکز ژنتیک بوده و مورد استفاده قرار گرفت.

۲) کشت سویه‌ای از باکتری رودوکوکوس اریتروپولیس و استخراج DNAی ژنومی آن. این باکتری در محیط LB حاوی آنتی‌بیوتیک کانامایسین به مدت یک روز در داخل شیکر انکوباتور با ۲۰۰ RPM و ۳۷ درجه سانتی‌گراد رشد داده شد.

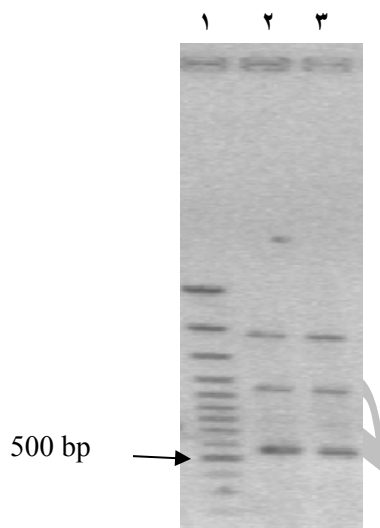
### ۳) طراحی پرایمر و روش PCR.

ابتدا پرایمرهای مناسب با سکانس‌های زیر طراحی شدند. توالی ۳'-GAA TTC TCT GAC AAG CCG AAT GCC-۵' به عنوان پرایمر برگشت در نظر گرفته شدند. تکثیر قطعات نوکلئوتیدی ژن اکسیدوردوکتاز به وسیله روش PCR با استفاده از دستگاه Corbett research صورت گرفت. برنامه PCR به صورت یک سیکل با دمای ۹۴ درجه سانتی‌گراد به مدت ۵ دقیقه، ۳۰ سیکل با دمای ۹۴ درجه سانتی‌گراد به مدت ۱ دقیقه، ۵۵ درجه سانتی‌گراد به مدت ۱ دقیقه، ۷۴ درجه سانتی‌گراد به مدت ۱ دقیقه و یک سیکل نهایی ۷۲ درجه سانتی‌گراد به مدت ۷ دقیقه بود.

## نتایج

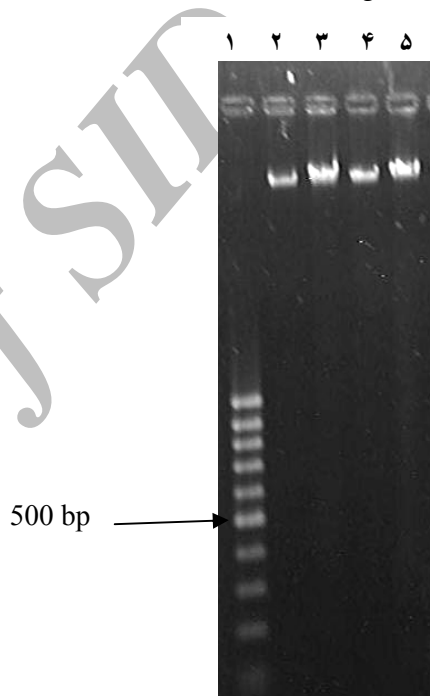
جهت طراحی پرایمرها، ابتدا سکانس ژن اکسیدوردوکتاز (ژن dszD)، رودوکوکوس اریتروپولیس IGTS8 را از بانک اطلاعاتی ژن (Gene bank) به دست آورده که ۵۷۹bp می‌باشد و سپس برای طراحی پرایمر رفت (Forward)، (Reverse)، (Forward)، (Reverse).

استخراج شد. این باند ژن اکسیدوردوکتاز متعلق به سویهای از باکتری رودوکوکوس اریتروپولیس، بعد از خالص‌سازی و تغليظ به عنوان Insert، با استفاده از کیت Inst/Aclone TM PCR Product cloning kit در ناحیه مولتی‌بیل کلونینگ سایت وکتور *pTZ57R*، کلون شد. پلاسمید *pTZ57R* حاوی مارکر bla (سایت مقاومت به آمپیسیلین و توانایی  $\alpha$ -Complementation) می‌باشد. سپس این محصول Ligation به داخل باکتری پذیرای مناسب به نام *E.coli* (*DH5 $\alpha$* ) ترانسفورم شد. در مرحله بعد، استخراج پلاسمید انجام شد و هر دو کلون با آنزیم‌های محدودکننده بریده شد (شکل ۳).



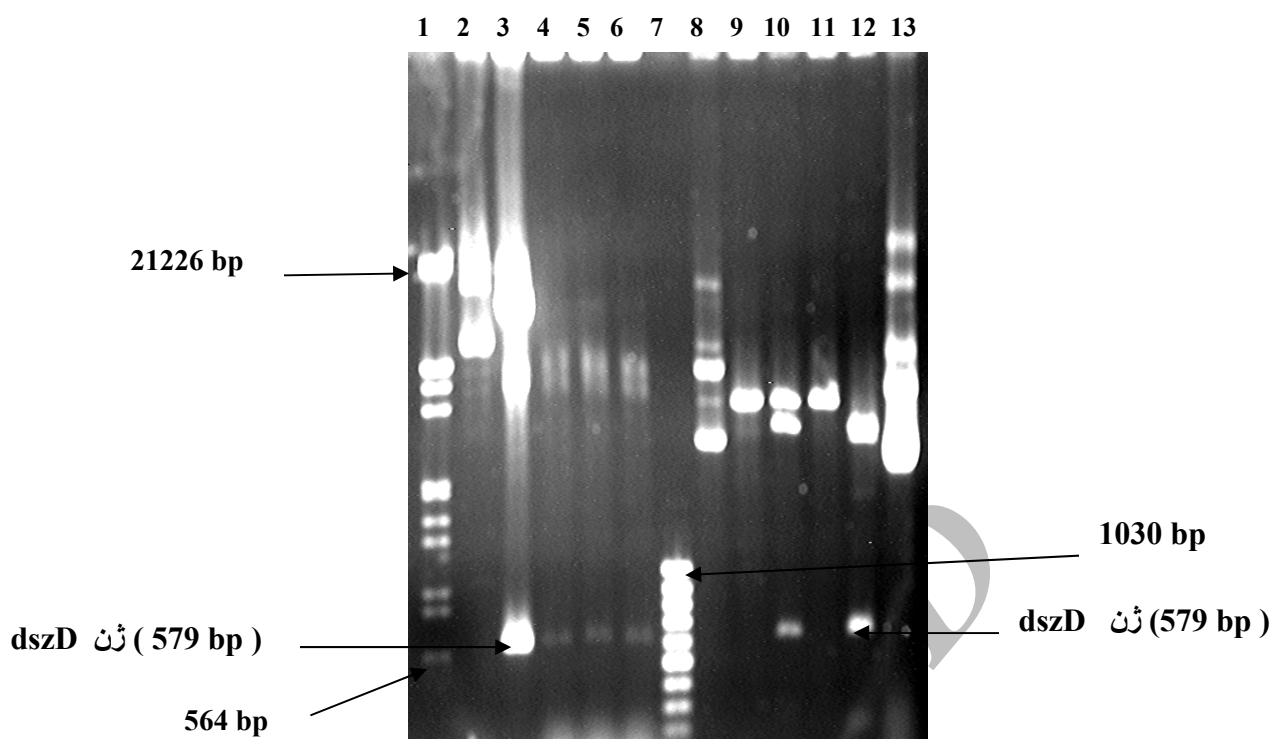
شکل ۲. ستون اول: مارکر ۵۰۰ bp، ستون دوم و سوم: محصول PCR مربوط به باکتری رودوکوکوس اریتروپولیس نتیجه سکانس باکتری این سویه از رودوکوکوس اریتروپولیس که تحت نام FRF.seq است، نشان می‌دهد که تعداد نوکلئوتیدهای مربوط به ژن اکسیدوردوکتاز باکتری مورد آزمایش مساوی با تعداد نوکلئوتیدهای مربوط به باکتری رودوکوکوس اریتروپولیس *IGTS8* استاندارد، یعنی ۵۷۹ bp است. در مرحله بعد توسط برنامه star DNA، توالی ژن اکسیدوردوکتاز باکتری رودوکوکوس اریتروپولیس (FRF.seq) با توالی ژن اکسیدوردوکتاز باکتری رودوکوکوس اریتروپولیس *IGTS8* استاندارد Align و مقایسه شد (ضمیمه ۱).

نوکلئوتید از اول سکانس این ژن برداشته و با ابتدای آن توالی آنزیم EcoRI (GAA TTC) اضافه شد. برای طراحی پرایمر برگشت (Reverse)، از آخر سکانس ژنومی اکسیدوردوکتاز *IGTS8* استاندارد، ۲۱ نوکلئوتید به صورت معکوس و Complement شده، انتخاب و به اول پرایمر برگشت، توالی آنزیم XbaI (TCT AGA) اضافه شد. سپس یکی از سویه‌های باکتری رودوکوکوس که از دانشگاه شهید بهشتی در اختیار ما قرار گرفت کشت داده و DNA ژنومی آن استخراج شد (شکل ۱).



شکل ۱. ۱) مارکر ۵۰۰ bp، ۲) ستون‌های بعدی مربوط به DNA کروموزومی باکتری رودوکوکوس اریتروپولیس جهت تکثیر ژن اکسیدوردوکتاز، از DNA ژنومی استخراج شده و تکنیک PCR با ۵۵ Annealing درجه سانتی‌گراد به مدت یک دقیقه و ۳۰ سیکل با پرایمرهای طراحی شده استفاده شد (شکل ۲).

نتیجه PCR، حضور سه باند بر روی ژل آگارز ۱ درصد بود، یکی از این قطعات که از نظر وزنی و تعداد نوکلئوتیدها به ژن اکسیدوردوکتاز *IGTS8* استاندارد (۵۷۹ bp) شبیه‌تر بود، یعنی باندی که در حدود ۶۰۰ bp بر روی ژل آگارز بود بریده و سپس باند مورد نظر از روی ژل، با استفاده از کیت Agarose Gel DNA Extraction kit خالص‌سازی و



شکل ۳. کلون ژن اکسیدوردوکتاز مربوط به رودوکوکوس اریتروپولیس Mapping

(مارکر ۱ = ۴ ماکرولیتر)

2) کلون شماره ۱ حاوی ژن اکسیدوردوکتاز = ۵ ماکرولیتر

3) کلون شماره ۱ دایجست شده با آنزیم BamHI = ۱۰ ماکرولیتر

4) کلون شماره ۱ دایجست شده با آنزیم EcoRI = ۱۰ ماکرولیتر

5) کلون شماره ۱ دایجست شده با آنزیم HindIII = ۱۰ ماکرولیتر

6) کلون شماره ۱ دایجست شده با آنزیم E.coRI + HindIII = ۱۰ ماکرولیتر

7) (مارکر ۷ = ۱۰۰ bp = ۴ ماکرولیتر)

8) کلون شماره ۲ حاوی ژن اکسیدوردوکتاز = ۵ ماکرولیتر

9) کلون شماره ۳ دایجست شده با آنزیم BamHI = ۱۰ ماکرولیتر

10) کلون شماره ۳ دایجست شده با آنزیم EcoRI = ۱۰ ماکرولیتر

11) کلون شماره ۳ دایجست شده با آنزیم HindIII = ۱۰ ماکرولیتر

12) کلون شماره ۳ دایجست شده با آنزیم E.coRI + HindIII = ۱۰ ماکرولیتر

13) (کنترل منفی = ۱۰ ماکرولیتر)

درنهایت بیان آنزیم اکسیدوردوکتاز دارد یا خیر؛ دوباره توسط برنامه کامپیوتی star DNA توالی ژن اکسیدوردوکتاز مربوط به باکتری رودوکوکوس اریتروپولیس (Translate DNA sequence FRF.seq) توالی ژن اکسیدوردوکتاز مربوط به باکتری رودوکوکوس اریتروپولیس (Translate DNA sequence IGTS8) استاندارد است. نیز ترجمه شد، که ترجمه هر دو

نتیجه این که فقط در ۱۴ نوکلئوتید با یکدیگر متفاوت بودند یعنی حدود ۹۸ درصد توالی ژن اکسیدوردوکتاز باکتری ها شبیه توالی ژن اکسیدوردوکتاز باکتری رودوکوکوس اریتروپولیس IGTS8 استاندارد می باشد، بنابراین ۹۸ درصد توالی Conserve شده است و فقط در ۲ درصد از توالی با هم اختلاف دارند. برای بی بردن به این که آیا وجود ۲ درصد اختلاف نوکلئوتیدی، تأثیری در بیان اسیدهای آمینه و

استفاده کردند و بازده این مسیر را چندین برابر افزایش دادند. به این ترتیب آنچه ضروری به نظر می‌رسد کار بر روی افزایش بیان این زن و استفاده از تشیدیدکنده‌ها در بیان آن است.

## تشکر و قدردانی

این پژوهش توسط پژوهشگاه ملی تحقیقات مهندسی رئیسیک و زیست فناوری حمایت شده است. از مسئول واحد ارسال سکانسینگ جناب آقای مهدی شفا به خاطر همکاری‌های لازم قدردانی می‌شود.

## منابع

- [1] Bressler DC, Fedorak PM. Identification of disulfides from the biodegradation of dibenzothiophene. *Appl Microbiol*, 2001; 67:5084-93.
- [2] Chang JH, Rhee SK, Chang YK, Chang HN. Desulfurization of diesel oils by a newly isolated dibenzothiophene-degrading Nocardiidae sp. strain CYKS2. *Biotechnol Prog*, 1998; 14(6):851-5.
- [3] Denis-Larose C, Bergeron H, Labbe D, Greer CW, Hawari J, Grossman MJ, Sankey BM, et al. Characterization of the basic replicon of Rhodococcus -Escherichia shuttle vector. *Appl Environ Microbiol*, 1998; 64:4363-7.
- [4] Frassinetti S, Setti L, Corti A, Farrinelli P, Montevercchi P, Vallini G. Biodegradation of dibenzothiophene by a nodulating isolate of Rhizobium meliloti. *Can J Microbiol*, 1998; 44:289-97.
- [5] Gallagher JR, Olson ES, Stainley DC. Microbial desulfurization of dibenzothiophene A-sulfure specific pathway. *FEMS Microbiol Letters*, 1993; 107(1):31-6.
- [6] Gray KA, Pogrebinsky OS, Mrachko GT, Xi L, Monticello DJ, Squires CH. Molecular mechanism of biocatalytic desulfurization of fossil fuels. *Nat Biotechnol*, 1996; 14:1705-9.
- [7] Iwabuchi N, Sunairi M, Urai M, Itoh C, Anzai H, Nakajima M, et al. Extracellular polysaccharides of Rhodococcus rhodochrous S-2 stimulate the degradation of aromatic components in crude oil by indigenous marine bacteria. *Appl Environ Microbiol*, 2002; 68:2337-43.
- [8] Li MZ, Squires CH, Monticello DJ, Childs JD. Genetic analysis of the dsz promoter and associated regulatory regions of Rhodococcus erythropolis IGTS8. *J Bacteriol*, 1996; 178:6409-18.
- [9] Lee MK, Senius JD, Grossman MJ. Sulfur-specific microbial desulfurization of sterically hindered analogs of dibenzothiophene. *Appl Environ Microbiol*, 1995; 61:4362-6.
- [10] Lizama HM, Wilkins LA, Scott TM. Debenzothiophene sulfure can serve as the sole electron acceptor during growth by sulfate reducing bacteria. *Biotechnol Letters*, 1995; 17(1):113-6.
- [11] Oldfield C, Pogrebinsky O, Simmonds J, Olson ES, Kulpa CF. Elucidation of metabolic pathway for dibenzothiophene desulfurization by Rhodococcus strain IGTS8 (ATCC53968). *Microbiology*, 1997; 143:2961-73.
- [12] Ohshiro T, Kanbayashi Y, Hine Y, Izumi Y. Involvement of coenzyme in dibenzothiophene degrading enzyme system from Rhodococcus erythropolis D-I. *Biosci Biotech Biochem*, 1995; 59:1349-51.
- [13] Purdy RF, Lepo JE, Ward B. Biodesulfurization of organic-sulfur compounds. *Curr Microbiol*, 1993; 27:219-22.
- [14] Piddington CS, Kovacevich BR, Rambousek J. Sequence and molecular characterization of a DNA region encoding the dibenzothiophene desulfurization operon of Rhodococcus sp. Strain IGTS8. *Appl Environ Microbiol*, 1995; 61:468-75.
- [15] Mcfarland BL. Biodesulfurization. *Curr Opin Microbiol*, 1999; 2:257-64.

دقیقاً ۱۹۳ اسید آمینه است. سپس توالی هر دو اسید آمینه توسط همین برنامه کامپیوتری با هم مقایسه و Align گردید، که کاملاً توالی اسیدهای آمینه هر دو آنزیم اکسیدوردوکتاز شبیه یکدیگر بود و تنها تفاوت آن در یک اسید آمینه واقع در ناحیه Stop codon می‌باشد که تأثیری در بیان آنزیم ندارد (ضمیمه ۲). از تشابه توالی نوکلئوتیدی در این دو باکتری این طور به نظر می‌رسد که سویه در دست بررسی، می‌تواند شباهت‌ها و یا قرابات‌هایی با باکتری رودوکوکوس اریتروبولیس *IGTS8* استاندارد داشته باشد.

## بحث و نتیجه‌گیری

در طی این تحقیق، ژن اکسیدوردوکتاز باکتری رودوکوکوس اریتروبولیس *IGTS8*، با استفاده از پرایمرهای قبلاً بر اساس ژن اکسیدوردوکتاز باکتری استاندارد طراحی شده بود به وسیله تکنیک PCR جداسازی و کلون گردید و پس از تأیید کلونینگ، تعیین توالی شد. نتایج حاصل از تعیین توالی، مبنی شباهت صدرصدی این ژن با ژن اکسیدوردوکتاز باکتری استاندارد بود.

در رابطه با شناسایی ژن اکسیدوردوکتاز و بررسی توالی آن مک فارلند [۱۱]، در مقاله خود متذکر شده که پروتئین مربوط به این ژن از نظر توالی با پروتئین دیگری از خانواده رودوکوکوس به نام *ThcE* همولوژی دارد. *ThcE* به الكل دهیدروژنازهای گروه III تعلق دارد و سنتز آن به وسیله آترازین، تیوکربامات، هربی‌سایدها یا الكلهای نوع اول القا می‌شود.

در رابطه با شناسایی نحوه عملکرد پروتئین اکسیدوردوکتاز، با بررسی مسیر 4S، متوجه شدند که آنزیم خاصی باید حضور داشته باشد تا تأمین کننده عامل احیا (FMNH2) باشد. با این پیش فرض، Gray و همکارانش [۶] برای اولین بار اقدام به جداسازی ژن dszD از باکتری رودوکوکوس اریتروبولیس نمودند. در مراحل بعد، افرادی همچون Xi و همکارانش [۱۶]، از پروتئین اکسیدوردوکتاز ویبریو هاروی برای تأمین عامل احیای مسیر گوگردزادایی

## ضمیمه‌ها

[16] Xi L, Squires CH, Monticello DJ, Childs JD. A flavin reductase stimulates dszA and dszC proteins of *Rhodococcus erythropolis* IGTS8 in vitro. Biochem Biophys Res Commun, 1997; 230:73-5.

ضمیمه ۱

Alignment Report of Untitled ClustalV (Weighted)  
Sunday, October 24, 2004 10:36 AM

	A T G T C T G A C A A G C C G A A T G C T G T T T C C A G C	Majority
	10                          20                          30	
1	A T G T C T G A C A A G C C G A A T G C T G T T T C C A G C	FRf
1	A T G T C T G A C A A G C C G A A T G C C G T T T C C A G C	IGTS8
	C A C A C C A C C C C C G A C G T C C C C G A A G T A G C G	Majority
	40                          50                          60	
31	C A C A C C A C C C C C G A C G T C C C C G A A G T A G C G	FRf
31	C A C A C C A C C C C C G A C G T C C C C G A A G T A G C A	IGTS8
	G C G A C G C C C G A G T T G T C C A C C G G C A T C T G C	Majority
	70                          80                          90	
61	G C G A C G C C C G A G T T G T C C A C C G G C A T C T G C	FRf
61	G C G A C G C C C G A G T T G T C C A C C G G C A T C T G C	IGTS8
	G C C G G T G A C T A C C G T G C T G C G C T T C G C C G C	Majority
	100                          110                          120	
91	G C C G G T G A C T A C C C G C G C T G C G C T T C G C C G C	FRf
91	G C C G G T G A C T A C C G T G C A G C G C T T C G C C G C	IGTS8
	C A C C C C G C C G G T G T C A C C G T C G T G A C C C T C	Majority
	130                          140                          150	
121	C A C C C C G C C G G T G T C A C C G T C G T G A C C C T C	FRf
121	C A C C C C G C A G G T G T C A C C G T C G T G A C C C T C	IGTS8
	G A T T C G G G T A C C G G C C C G G T G G G T T T C A C C	Majority
	160                          170                          180	
151	G A T T C G G G T A C C G G C C C G G T G G G T T T C A C C	FRf
151	G A T T C G G G T A C C G G C C C G G T G G G T T T C A C C	IGTS8
	G C C A C C T C G T T C T C G T C C G T C T C C C T G G A G	Majority
	190                          200                          210	
181	G C C A C C T C G T T C T C G T C C G T C T C C C T C G A G	FRf
181	G C C A C C T C G T T C T C G T C C G T C T C C C T G G A G	IGTS8

## Alignment Report of Untitled ClustalV (Weighted)

Sunday, October 24, 2004 10:36 AM

	<u>C C G C C G C T C G T C T C G T T C A A C A T C G C G G A G</u>	Majority
	220	230
211	<u>C C G C C G C T C G T C T C G T T C A A C A T C G C G G A G</u>	FRf
211	<u>C C G C C G C T C G T C T C G T T C A A C A T C G C G G A G</u>	IGTS8
	<u>A C G T C G T C G A G C A T C A A T G C G C T C A A G G C A</u>	Majority
	250	260
241	<u>A C G T C G T C G A G C A T C A A T G C A C T C A A G G C A</u>	FRf
241	<u>A C G T C G T C G A G C A T C A A T G C G C T C A A G G C A</u>	IGTS8
	<u>G C C G A G T C C T T G G T G A T C C A C C T T C T C G G C</u>	Majority
	280	290
271	<u>G C C G A G T C C T T G G T G A T C C A C C T T C T C G G C</u>	FRf
271	<u>G C C G A G T C C T T G G T G A T C C A C C T T C T C G G C</u>	IGTS8
	<u>G A A C A T C A G C A G C A T C T G G C C C A G C G C T T T</u>	Majority
	310	320
301	<u>G A A C A T C A G C A G C A T C T G G C C C A G C G C T T T</u>	FRf
301	<u>G A A C A T C A G C A A C A T C T G G C C C A G C G C T T T</u>	IGTS8
	<u>G C G C G T A G T G C C G A T C A G C G T T T T G C A G A C</u>	Majority
	340	350
331	<u>G C G C G T A G T G C C G A T C A G C G T T T T G C A G A C</u>	FRf
331	<u>G C G C G T A G C G C C G A T C A G C G T T T T G C A G A C</u>	IGTS8
	<u>G A G T C A C T G T G G G C A G T G C T C G A C A C C G G G</u>	Majority
	370	380
361	<u>G A G T C A C T G T G G G C A G T G C T C G A C A C C G G G</u>	FRf
361	<u>G A G T C A C T G T G G G C A G T G C T C G A C A C C G G G</u>	IGTS8
	<u>G A G C C G G T T C T G C A C G G C A C C C C C A G C T G G</u>	Majority
	400	410
391	<u>G A A C C G G T G C T G C A C G G C A C C C C C A G C T G G</u>	FRf
391	<u>G A G C C G G T T C T G C A C G G C A C C C C C A G C T G G</u>	IGTS8

Alignment Report of Untitled ClustalV (Weighted)

Sunday, October 24, 2004 10:36 AM

		Majority		
		430	440	450
421	A T G C G C G T C A A G G T C G A C C A G C T G A T C C C T			
421	A T G C G C G T C A A G G T C G A C C A G C T G A T C C C T			
		Majority		
		460	470	480
451	G T C G G G C G A C C A C A C G C T G G T C A T C G G A C T C			
451	G T C G G G C G A C C A C A C G C T G G T C A T C G G A C T C			
		Majority		
		490	500	510
481	G T C A C G C G G G T T C A C G C C G A A G A G G A C G A C			
481	G T C A C G C G G G T T C A C G C C G A A G A G G A C G A C			
		Majority		
		520	530	540
511	G A A T C C G C T G C C G C G C C G C T G C T C T A C C A C			
511	G A A T C C G C T G C C G C A C C G C T G C T C T A C C A C			
		Majority		
		550	560	570
541	G A G G G C A A G T A C T A C C G C G C G A C T C C G T T A			
541	G A G G G C A A G T A C T A C C G C C C G A C T C C G T T A			
		Majority		
571	G G T C A A T A G			
571	G G T C A A T A G			

Decoration 'Decoration #1': Shade (with solid bright cobalt) residues that match the Consensus exactly.

Alignment Report of Untitled ClustalV (PAM250)  
 Sunday, October 24, 2004 10:44 AM

	M S D K P N A V S S H T T P D V P E V A A T P E L S T G I C	Majority
	10                          20                          30	
1	M S D K P N A V S S H T T P D V / P E V A A T P E L S T G I C	igts8
1	M S D K P N A V S S H T T P D V P E V A A T P E L S T G I C	frf
	A G D Y R A A L R R H P A G V T V V T L D S G T G P V G F T	Majority
	40                          50                          60	
31	A G D Y R A A L R R H P A G V T V V T L D S G T G P V G F T	igts8
31	A G D Y R A A L R R H P A G V T V V T L D S G T G P V G F T	frf
	A T S F S S V S L E P P L V S F N I A E T S S S I N A L K A	Majority
	70                          80                          90	
61	A T S F S S V S L E P P L V S F N I A E T S S S I N A L K A	igts8
61	A T S F S S V S L E P P L V S F N I A E T S S S I N A L K A	frf
	A E S L V I H L L G E H Q Q H L A Q R F A R S A D Q R F A D	Majority
	100                          110                          120	
91	A E S L V I H L L G E H Q Q H L A Q R F A R S A D Q R F A D	igts8
91	A E S L V I H L L G E H Q Q H L A Q R F A R S A D Q R F A D	frf
	E S L W A V L D T G E P V L H G T P S W M R V K V D Q L I P	Majority
	130                          140                          150	
121	E S L W A V L D T G E P V L H G T P S W M R V K V D Q L I P	igts8
121	E S L W A V L D T G E P V L H G T P S W M R V K V D Q L I P	frf
	V G D H T L V I G L V T R V H A E E D D E S A A A P L L Y H	Majority
	160                          170                          180	
151	V G D H T L V I G L V T R V H A E E D D E S A A A P L L Y H	igts8
151	V G D H T L V I G L V T R V H A E E D D E S A A A P L L Y H	frf
	E G K Y Y R A T P L G Q -	Majority
	190	
181	E G K Y Y R P T P L G Q .	igts8
181	E G K Y Y R A T P L G Q .	frf

Decoration 'Decoration #1': Shade (with solid bright cobalt) residues that match the Consensus exactly.